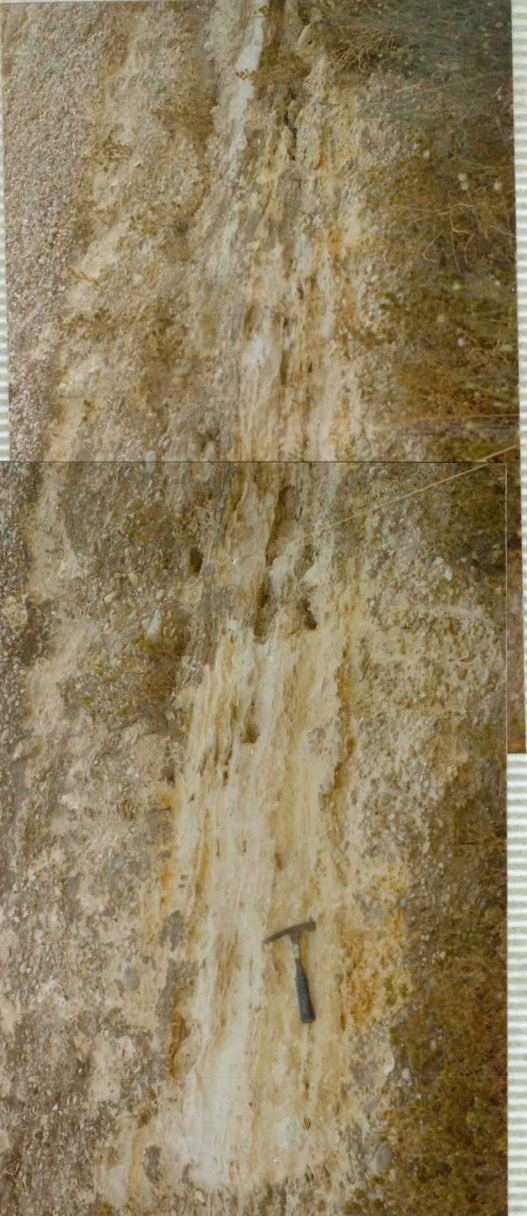




DR-9146.- Conglomerados y arenas marinas, con os-
treas (16).



DR-9147.- Conglomerados y arenas (l6), se aprecian huellas flaser y ripples de oscilación.



DR-9149.- Gravera en explotación en los conglomerados y arenas del Messiniense superior-
-Plioceno inferior (16).



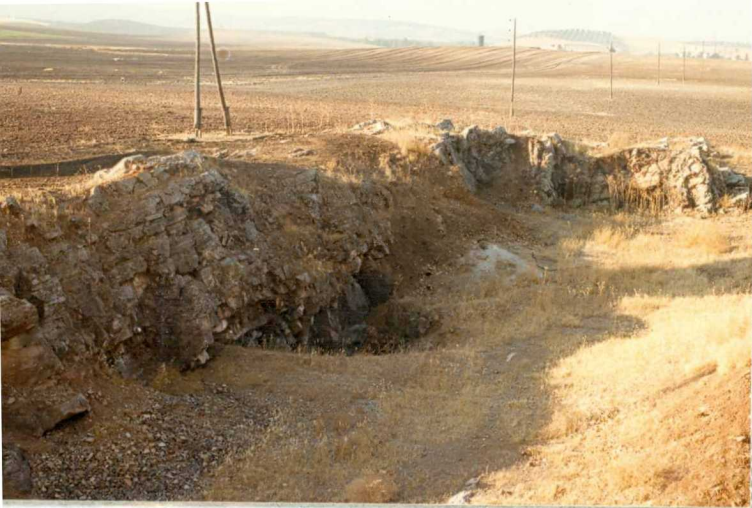
DR-9153.- Aspecto general del afloramiento de las margas blancas Eocenas (7) (fondo y parte derecha, y de las formaciones alóctonas de margas color tabaco (11).



DR-9155.- Aspecto de las barras de calcarenitas
(15).



DR-9156.- Planos de falla en las calcarenitas (15).



DR-9157.- Cantera abandonada en dolomías del Muschelkalk (1).



DR-9159.- Panorámica, desde el Cerro de la Pollera,
de Cerro Navarro (calcarenitas) al fondo
Montilla.



DR-9160.- Gravera en explotación en el Mioceno Superior.

DR-9161.- Alternancia de arenas, margas y calcare-
nitas en Santaella.





DR-9165.- Falla normal en calcarenitas cerca de Aguilar de la Frontera.



DR-9166.- Panorámica de las calcarenitas de Aguilar de la Frontera, que se apoyan discordantes sobre las albarizas, en éstas varias canteras en explotación, por el fondo del Valle discurre el río Caba encima de materiales triásicos. (En primer término una salina).



DR-9167.- Superposición de 2 abanicos aluviales, el más antiguo color blanco rosaceo con aspecto de caliches pulverulento con cantos pequeños dispersos; y el más moderno, arcillas rojas con cantos de calizas subbeticas.



DR-9168.- Contacto por falla entre las albarizas (9) y los conglomerados marinos (13).



DR-9169.- Depósitos antiguos del Guadalquivir, muy tectonizados, horizontes carbonatados.



DR-9170.- Cantera en conglomerados marinos, facies
"Fan-Delta" (14). Al fondo Espejo.



DR-9171.- Detalle de la anterior, cantos imbricados.



DR-9172.- Otra cantera en los conglomerados marinos, facies "Fan-Delta" (14), niveles arcillo-margosos intercalados.



DR-9173.- Afloramiento típico de las margas azules miocenas.



DR-9174.- Abanico aluvial (19), limos calcáreos
con cantos de calizas y margo calizas.



DR-9175.- F. detalle contacto entre calcarenitas
(15) y margas (13).



DR-9176.- Calcareenitas (15) con estratificación cruzada.



DR-9177.- Cantera en calizas grises con niveles de sílex, del cretácico superior (6).



DR-9178.- F. detalle, nodulos y niveles de sílex
en las calizas del cretácico superior
(6).



DR-9179.- F. detalle, niveles decimétricos de margas intercaladas en las calizas del Cretácico superior (6).



DR-9180.- Margas y margo-calizas del Cretácico Superior (15), en Llanos del Espinar.



DR-9181.- Afloramiento de niveles calcáreos del
Cretácico superior (6).



DR-9182.- Idem a 9181.



DR-9183.- Margas y margo-calizas (5) del Cretácico Superior. Facies típica "capas rojas".



DR-9184.- Arcillas y yesos triásicos (2) rodeados de margas del Cretácico Inferior (4).



DR-9185.- Dolina por disolución de yesos triásicos
(2).



DR-9186.- Panorámica de un valle en materiales triásicos la erosión a dejado al descubierto un Faraillon de dolomías Muschelkalk (1).



DR-9187.- Cantera en explotación en las margas
blancas "albarizas" Aquitaniense-Serrava
liense (9).



DR-9188.- Contacto discordante de las calcarenitas
(15) sobre las albarizas (9).



RG-9239.- Secuencia de carácter turbidítico (alternancia de areniscas y arcillas), en los materiales paleógeno-aquitaniense. Formaciones alóctonas (11).



RG-9240.- Foto de detalle de la anterior, aspecto de un ciclo turbidítico.